

# 基于约束 Lattice 的 Invariant Group 的优化算法

黄天域, 王梓桐, 李可, 陈佳梁

January 2025

## 1 引言

Lattice quantizer problem 是几何学中的一个经典问题, 其目标在于找到  $n$  维空间中的一个 lattice 并最小化一个随机向量到 lattice 中一个点的平均平方距离, 也被叫做 Normalized second moments (NSM)。

受到下一节中介绍的文献的启发, 我们对 quantizer problem 进行了一些探索: 我们不仅复现了论文的结果, 还研究并设计了一个新的求 G-invariant lattice 的算法, 能够在保证 lattice 满足一些几何性质的前提下优化其 NSM, 并得到了一些实验成果。本篇报告会详细介绍我们在这个 project 上做出的尝试, 并总结我们得到的成果与目前算法的局限性。我们的代码已在 Github 上开源: <https://github.com/AK-DREAM/ML-quantizer>。

## 2 文献综述与研究动机

在 Conway 和 Sloane 的 *Sphere Packings, Lattices and Groups* 一书 [1] 中, 作者详细介绍了 lattice 的定义和性质, 以及 quantizing problem。在第三章的第 4 节中, 作者介绍了 lattice 的自同构群 (automorphism group), 提出了一种使用整数矩阵的表示方式, 并指出对这一整数矩阵群  $G$  的研究很大程度上是对在该群下 invariant 的 lattice 的研究, 启发我们对 lattice 的 invariant group 进行进一步的探索。

Agrell, Pook-Kolb 和 Allen 在 [3] 中提出了一种基于随机梯度下降 (stochastic gradient descent) 的高效算法用于最小化特定维数 lattice 的 NSM, 通过在 lattice 的 Voronoi region 中随机选取样本, 并计算生成矩阵  $B$  的梯度来优化 lattice, 启发了我们使用机器学习算法来优化

G-invariant lattice 的 NSM。同时，这篇文章也提出了一种使用 theta image 来消除数值误差，将由数值生成的 lattice 转化为其本质的精确形式的方法。

Agrell 与 Allen 在 [2] 中提出了基于低维情形较好 lattice 通过正交拼接 (gluing) 以求得更高维空间中较好 lattice 的技术，结合前面的思考，这启发了我们尝试去探索更为灵活的 gluing 算法，结合 invariant group 的想法，我们认为好的 lattice 的特殊几何结构，或者说对称性应当反映于其 invariant group 中。最终我们提出了下面基于约束 invariant group 的求解优化 lattice 的算法。

### 3 算法简介

#### 3.1 原始算法复现

我们首先尝试复现了 Agrell, Pook-Kolb 和 Allen 的论文 [3] 中求  $n$  维无约束最优 lattice 的算法。

在 [3] 中算法的基础上，我们为 CLP 增加了并行计算支持，并使用 mini-batch 的梯度下降方法，以更好地利用计算资源得到问题的解，具体改进可参考 3.5 节。

下表展示了我们的算法以  $batchsize = 128$  运行  $T = 100\,000$  轮后的结果。其中  $\hat{G} \pm 2\hat{\sigma}$  是我们算法给出的结果， $\hat{G}^* \pm 2\hat{\sigma}^*$  为 [3] 给出的结果。

表 1: Result of 3.1

n	$\hat{G} \pm 2\hat{\sigma}$	$\hat{G}^* \pm 2\hat{\sigma}^*$	n	$\hat{G} \pm 2\hat{\sigma}$	$\hat{G}^* \pm 2\hat{\sigma}^*$
10	$0.070812 \pm 0.000003$	$0.070811 \pm 0.000003$	17	$0.068215 \pm 0.000002$	-
11	$0.070428 \pm 0.000003$	$0.070424 \pm 0.000002$	18	$0.068153 \pm 0.000002$	-
12	$0.070064 \pm 0.000003$	$0.070029 \pm 0.000002$	19	$0.067843 \pm 0.000002$	-
13	$0.069703 \pm 0.000003$	$0.069696 \pm 0.000002$	20	$0.067581 \pm 0.000002$	-
14	$0.069261 \pm 0.000002$	$0.069261 \pm 0.000002$	21	$0.067339 \pm 0.000002$	-
15	$0.068872 \pm 0.000002$	$0.068869 \pm 0.000002$	22	$0.067093 \pm 0.000001$	-
16	$0.068298 \pm 0.000002$	$0.068296 \pm 0.000002$	23	$0.066872 \pm 0.000001$	-

## 3.2 理论推导

### 3.2.1 数学准备

在本小节，我们假定读者有基本的抽象代数基础，为了报告的简洁性，我们省略了如群，群上的二元运算，群同态、群同构等的定义。

为了解释我们的算法，我需要先引入一定的数学概念作为准备，并准备利用这些概念进行一些推导。下面我将介绍本篇文章所需要的数学知识：

首先给出在本篇文章中十分重要的两个群的记号约定：

$$n \text{ 阶一般线性群 } \text{GL}_n(\mathbb{K}) = \{A | A \text{ 是 } n \times n \text{ 阶系数在 } K \text{ 中的可逆矩阵}\}$$

本篇报告中  $K$  主要取为  $\mathbb{R}, \mathbb{Z}$ .

$$n \text{ 阶正交群 } \text{O}(n) = \{A | A \text{ 是 } n \times n \text{ 阶正交矩阵}\}$$

上面两个群的群上的二元运算都是矩阵乘法，容易发现  $\text{O}(n)$  是  $\text{GL}_n(\mathbb{R})$  的子群，即  $\text{O}(n) \in \text{GL}_n(\mathbb{R})$  且两者的群运算是相容的。

接下来我将引入我们使用的核心数学技术：

**定义 3.1. 群的实表示** 是指一个群  $G$  和  $\mathbb{R}$  上的一个有限维向量空间  $V$  之间的一个同态映射

$$\rho : G \rightarrow \text{GL}(V),$$

其中  $\text{GL}(V)$  表示  $V$  上的可逆线性变换构成的群（即一般线性群）。换言之，群  $G$  的每个元素  $g$  都按照下面的方式“作用”在线性空间  $V$  上

$$g \cdot v := \phi(g) \cdot v$$

，特别的，若  $\phi(G) \subset \text{O}(V)$ ，即包含在  $V$  上的正交群中，那么称这个（实）表示是**正交表示**

对于一个  $n$  维 lattice  $\Lambda = \mathbb{Z}\mathbf{x}_1 + \mathbb{Z}\mathbf{x}_2 + \dots \mathbb{Z}\mathbf{x}_n$ ，其中我们约定  $\mathbf{x}_i$  均为行向量，称矩阵

$$B = \begin{bmatrix} \mathbf{x}_1 \\ \mathbf{x}_2 \\ \dots \\ \mathbf{x}_n \end{bmatrix}$$

为 lattice  $\Lambda$  的生成矩阵，它的行向量的整系数组合给出 lattice 中的所有点，而矩阵  $A = BB^T$  称为 lattice  $\Lambda$  的 **Gram matrix**，下面我将根据  $A, B$  定义我们算法中最为核心的两个群。

**定义 3.2. Invariant Group**，上述 lattice  $\Lambda$  的 invariant group  $G$  定义为

$$G = \{g \in GL_n(\mathbb{Z}) | gAg^T = A\}$$

，若一个 lattice  $\omega$  的 Invariant Group 包含  $G$ ，则称  $\omega$  **G-invariant**。

**定义 3.3. Isometric Group**，上述 lattice  $\Lambda$  的 isometric group  $S$  定义为

$$S = \{s \in O(n) | \Lambda * s = \Lambda\}$$

即在  $S$  中的正交变换的作用下，lattice  $\Lambda$  保持不变。

### 3.3 方法推导

在本小节，我们将推导证明支撑我们算法的主要数学结果，包括如何将约束 Invariant Group 包含指定群转化为无约束问题，Invariant Group 与 Isometric Group 之间的联系以及如何计算 Invariant Group 等等。

对于 lattice  $\Lambda, B, A$  分别为其生成矩阵，Gram matrix. 根据 [3]，在生成的 Lattice 是等价的前提下（生成的 lattice 的 Voronoi region 全等），可以不妨假设  $B$  是上三角矩阵并且对角元大于 0. 那么根据著名的 cholesky 分解定理：

**定理 3.4. cholesky 分解定理**：设矩阵  $A$  是正定对称矩阵，那么  $A$  存在且恰存在唯一的分解

$$A = LL^T$$

这里  $L$  为下三角矩阵，主对角元大于 0。

根据这个定理，结合我们对  $B$  的假设，lattice  $\Lambda$  的 Gram matrix 唯一决定了生成矩阵  $B$ ，在此基础上，我们来初步理解 Invariant Group 所代表的几何含义。

对给定的  $n$  维 lattice  $\Lambda$  规定  $\langle \cdot, \cdot \rangle$  为  $\mathbb{R}^n$  上的标准内积： $\langle \mathbf{u}, \mathbf{v} \rangle := \mathbf{u} * \mathbf{v}^T$

那么对于  $\forall group G \subset GL_n(\mathbb{R})$  lattice  $\Lambda$   $G$ -invariant 当且仅当

$$\langle \xi B, \xi B \rangle = \langle \xi g B, \xi g B \rangle, \forall g \in G, \xi \in \mathbb{Z}^n \quad (1)$$

这相当于说，对 lattice 中的任何一对点  $(\xi B, \eta B)$  其中  $\xi, \eta \in \mathbb{Z}^n$  为两个点的整系数坐标，在经过  $g \in G$  变换后，得到的新的一对点  $((\xi g)B, (\eta g)B)$  之间的距离不变。根据(1)，这等价于

$$gAg^T = A, \forall g \in G \quad (2)$$

对 Gram matrix  $A$ ，若以  $f(\mathbf{x}) = \mathbf{x}A\mathbf{x}^T, \mathbf{x} \in \mathbb{R}^n$  记  $A$  生成的二次型，那么(2)等价于  $f(\mathbf{x}) = f(g\mathbf{x}), \forall \mathbf{x} \in \mathbb{R}^n$ 。由此引出支撑我们算法正确性的核心定理：

**定理 3.5.** 对任意正定二次型  $f(\mathbf{x}) = \mathbf{x}A\mathbf{x}^T$  以及  $G \subset \text{GL}_n(\mathbb{Z})$ ， $A$  诱导的 *lattice G-invariant* 当且仅当

$$f(\mathbf{x}) = \frac{1}{\#G} \sum_{g \in G} f(g\mathbf{x}), \forall \mathbf{x} \in \mathbb{R}^n$$

特别的，任取正定二次型  $u(\mathbf{x})$ ，我们都有：对正定对称矩阵  $C$  满足

$$\mathbf{x}C\mathbf{x}^T = \frac{1}{\#G} \sum_{g \in G} u(g\mathbf{x}), \forall \mathbf{x} \in \mathbb{R}^n$$

都有  $C$  诱导的 *lattice G-invariant*。

**定理 3.5 的证明：**首先证明前半部分，先证必要性：若  $A$  诱导的 *lattice G-invariant*，那么根据先前的解释以及(2)， $f(\mathbf{x}) = f(g\mathbf{x}), \forall \mathbf{x} \in \mathbb{R}^n$ ，从而  $\frac{1}{\#G} \sum_{g \in G} f(g\mathbf{x}) = \frac{1}{\#G} \sum_{g \in G} f(\mathbf{x}) = f(\mathbf{x}), \forall \mathbf{x} \in \mathbb{R}^n$ ，结论成立。

再证明充分性：若  $f(\mathbf{x}) = \frac{1}{\#G} \sum_{g \in G} f(g\mathbf{x}), \forall \mathbf{x} \in \mathbb{R}^n, \forall h \in G$ ：

$$\begin{aligned} f(h\mathbf{x}) &= \frac{1}{\#G} \sum_{g \in G} f(hg\mathbf{x}) \\ &= \frac{1}{\#G} \sum_{\substack{l \in G \\ g=h^{-1}l}} f(hg\mathbf{x}) \\ &= \frac{1}{\#G} \sum_{\substack{l \in G \\ g=h^{-1}l}} f(l\mathbf{x}) \\ &= f(\mathbf{x}) \end{aligned}$$

上面用到了群论的基本结果： $\forall h \in G, \{h^{-1}g | g \in G\} = G$ ，这是因为  $G$  是有限群，结合  $\{h^{-1}g | g \in G\} \subset G$ ，只需要证明  $h^{-1}g(g \in G)$  两两不同，这是显然的，因为若有  $h^{-1}g_1 = h^{-1}g_2$ ，两边同时乘以  $h$  即得  $g_1 = g_2$ ，则此时  $\#\{h^{-1}g | g \in G\} \geq \#G$ ，结合包含关系就得到了  $\{h^{-1}g | g \in G\} = G$ 。

最后, 若  $C$  满足  $\mathbf{x}C\mathbf{x}^T = \frac{1}{\#G} \sum_{g \in G} u(g\mathbf{x}), \forall \mathbf{x} \in \mathbb{R}^n$  记  $\hat{u}(\mathbf{x}) = \mathbf{x}C\mathbf{x}^T$ , 那么

$$\begin{aligned}
\frac{1}{\#G} \sum_{g \in G} \hat{u}(g\mathbf{x}) &= \frac{1}{\#G} \sum_{h \in G} \left( \frac{1}{\#G} \sum_{g \in G} u(hg\mathbf{x}) \right) \\
&= \frac{1}{\#G^2} \sum_{h \in G} \sum_{g \in G} u(hg\mathbf{x}) \\
&= \frac{1}{\#G^2} \sum_{l \in G} \sum_{\substack{g, h \in G \\ gh=l}} u(l\mathbf{x}) \\
&= \frac{1}{\#G^2} \sum_{l \in G} (\#G * u(l\mathbf{x})) \\
&= \hat{u}(\mathbf{x})
\end{aligned}$$

那么根据前面所推到的结论,  $C$  诱导的 lattice G-invariant, 证毕。

利用这个定理, 我们可以将约束 lattice 的 Invariant Group 包含指定的群  $G$ , 转换为无约束优化问题, 具体做法如下: 令  $L$  为一个下三角矩阵, 那么正定对称矩阵

$$A = \frac{1}{\#G} \sum_{g \in G} (gL)(gL)^T$$

诱导了一个 G-invariant lattice, 于是我们只需要优化  $L$  便可以间接地优化 G-invariant lattice, 基于这些观察, 我们设计了我们的算法。

接下来需要解决的问题是如何计算 invariant group, 为此我们需要对 Invariant Group 与 Isometric Group 做一些更加深入地讨论, 这样也可以让我们更好的理解我们算法的价值。

**定理 3.6.** 设  $n$  维 Lattice  $\Lambda$  的 Invariant Group 和 Isometric Group 分别为  $G, H$ , 那么  $H$  同构于  $G$  的一个子群。

**定理 3.6 的证明:** 利用 [3] 中的结果, 两个生成矩阵  $B, B' \in \text{GL}_n(\mathbb{R})$  生成同一个 lattice 当且仅当  $\exists U \in \text{GL}_n(\mathbb{R}), R \in \text{O}(n)$  使得  $B' = UBR$ 。注意到  $\forall h \in H, \Lambda h = \Lambda$ 。从而有

$$\forall h \in H, \exists g_h \in G \text{ s.t. } g_h B = B h \quad (3)$$

我们说明映射  $\phi: h \rightarrow g_h (h \in H)$  给出  $H$  到  $G$  的一个子群的同构。利用(3):  $g_h = B^{-1} h B$  即为一个相似变换, 从而可以直接验证  $\phi(h_1)\phi(h_2) = \phi(h_1 h_2)$  是一个群同态, 并且是单射, 证毕。

上面的定理 3.6 给出了 Isometric Group 到 Invariant Group 的关系, 借此我们可以通过 Invariant Group 寻找 Isometric Group。其计算方式由上面的  $\phi$  给出。此外给出一个在计算 Invariant Group 的时比较有用的结论, 它对 Invariant Group 中每个元素的阶给出了一个估计。

**命题 3.7.** 设  $G \subset \text{GL}_n(\mathbb{Z})$  是一个有限群, 则  $\forall g \in G$ , 元素  $g$  的阶  $o(g)$  满足  $\phi(o(g)) \leq n$ , 这里  $\phi$  是欧拉函数, 元素  $g$  的阶指的是使得  $g^o = e$  为  $G$  的单位元的最小的正整数  $o$ .

**命题 3.7 的证明:** 设矩阵  $g$  作为  $\mathbb{Q}^n$  上的线性变换的极小多项式为  $f(x) \in \mathbb{Q}[x]$ , 则  $f(x)|(x^{o(g)} - 1)$ , 注意到  $o(g) =: k$  的极小性,  $f(x) \nmid (x^m - 1), \forall m < k$ , 这将导致  $f(x)$  的根中有一个  $n$  次本原单位根, 即  $\Phi_k(x)|f(x)$ , 这里  $\Phi_k(x)$  是第  $k$  个分圆多项式, 利用  $f(x)|\det(xI - g)$ , 这里  $I$  是单位矩阵。我们有

$$\phi(k) = \deg(\Phi_k(x)) \leq \deg(f) \leq n$$

结合  $k = o(g)$ , 证毕!

这个命题在计算 Invariant Group 的时候有一定作用, 因为通常我们只能得到 Invariant Group 的一些生成元, 我们需要有关它们阶的分析以尝试计算它们生成的群, 例如根据上面的结论, 我们可以得到  $\text{GL}_2(\mathbb{Z})$  中所有有限阶的元素阶只能为 1,2,3,4,6 之一。

最后, 鉴于我们的算法只能根据指定的 Invariant Group 生成满足相应约束的 lattice 并进行优化, 并不能根据指定的 Isometric Group 生成相应的约束, 但是我们可以指出,  $\forall G \subset \text{GL}_n(\mathbb{Z}), G$  同构于一个正交群的子群  $H$ , 根据定理 3.6, 这说明 Invariant Group 包含  $G$  的 lattice 的 Isometric Group 可能包含  $H$ 。换言之, 如果我们希望找到一个 Isometric Group 包含  $H$  的 lattice, 我们可以通过  $\text{GL}_n(\mathbb{Z})$  中与之同构的群  $G$ , 利用本算法约束生成 lattice 使其 Invariant Group 包含  $G$ , 这样的 lattice 可能满足我们的要求。

**定理 3.8.** 有限群  $G$  的任意一个实表示均可以实现为一个正交表示, 即对于实表示  $\rho: G \rightarrow \text{GL}_n(\mathbb{R})$ , 存在单的群同态  $\eta: \rho(G) \rightarrow \text{O}(n)$ , 则  $\eta \circ \rho: G \rightarrow \text{O}(n)$  给出了这个正交表示的实现。

**定理 3.8 的证明:** 注意到  $S := \sum_{g \in G} \rho(g)^T \rho(g)$  是正定对称矩阵, 进而存在正交对角化  $S = UDU^T, U \in \text{O}(n)$ ,  $D$  是对角矩阵, 且对角元大于 0, 令  $D^{\frac{1}{2}}$  为  $D$  的每个对角元开平方根得到的对角矩阵。注意到

$$\rho(h)^T S \rho(h) = \sum_{g \in G} \rho(gh)^T \rho(gh) = S, \forall h \in G$$

令  $\eta(h) := D^{\frac{1}{2}} U^T h U D^{-\frac{1}{2}}, \forall h \in \rho(G)$ , 则我们有  $\eta$  是单射且

$$\begin{aligned}
\forall h \in \rho(G), \eta(h)^T \eta(h) &= D^{-\frac{1}{2}} U^T h^T U D^{\frac{1}{2}} D^{\frac{1}{2}} U^T h U D^{-\frac{1}{2}} \\
&= D^{-\frac{1}{2}} U^T h^T S h U D^{-\frac{1}{2}} \\
&= D^{-\frac{1}{2}} U^T S U D^{-\frac{1}{2}} \\
&= I_n
\end{aligned}$$

所以  $\eta(h) \in O(n) \forall h \in \rho(G)$ , 证毕!

根据这个定理我们立刻知道  $GL_n(\mathbb{Z})$  的每个有限子群都和  $O(n)$  的某个有限子群同构。

### 3.4 理论技术总结

在理论推导中, 我们提出了一种将约束 Lattice 的 Invariant Group 包含指定群  $G$  转换为无约束优化问题的方法并给以证明。同时提出了一个通过 Lattice 的 Isometric Group 来计算其部分 Invariant Group 的方法。并提出了有关 Invariant Group 的计算中可以用上的命题。最后指出通过本算法可以尝试生成 Isometric Group 包含指定群的方法。

在实际应用中, 我们的想法是选取现有的每个维数最好的 Lattice 的 Invariant Group, 但是由于这些 Lattice 通常可以实现为某些李代数的根系, 因此这些群的 Invariant Group 会和李代数的 Weyl 群产生较为深刻的联系, 这意味着我们需要尝试分析这些 Weyl 群的整表示, 这里所需要的数学知识已经超出了小组成员的能力范围, 我们也并未找到相关的参考文献, 因此我们只能通过两种方式来获得部分的获得 Invariant Group, 其一是根据 Gram matrix 直接猜出部分 Invariant Group, 其二是借助 Isometric Group 计算 Invariant Group, 因为 Isometric Group 的研究结果较多例如 [7], 这或许是更为可行的策略。

### 3.5 工程改进

在原论文 [3] 中, 其学习率的设置依赖于经验性的假设与实验。在我们的实现中, 我们采用了余弦退火的学习率调整方法, 通常效果优于原论文的指数下降的学习率调整器, 且省去了调整超参数的麻烦。

我们注意到, 在维数较高的时候, CLP 部分是运行速度的最大瓶颈。而 CLP 的本质是在  $\mathbb{R}^n$  空间中进行采样, 将样本点归一化到单个 Voronoi Cell 后用于 Monte-Carlo 方法计算 NSM。



这启发我们采用现代较为常见的 `batch` 方法，一方面可以提升 NSM 以及相应的梯度计算精度，另一方面由于各个采样进程的独立性，可以采用并行计算，从而充分利用计算资源。

在较大规模的  $n$  (如  $n > 40$ ) 的计算中，可以进一步采用如 [6] 中以筛法为基础的方法，使用 GPU，可以进一步提升计算速度和并行水平。在我们的实验中，由于  $n$  本身并不大，囿于代码水平，我们采用了更为基础的基于 CPU 的多线程并行方式。具体而言，通过使用 `numba` 库提供的 JIT 技术，我们成功在几乎不损失计算速度的情况下实现了批大小 (`batchsize`) 为 128 的提升，有效地减轻了 `lattice` 和 NSM 震荡的情形，提升了收敛速度。这也使得我们在合理的计算时间及计算资源消耗规模的情况下，将原有的计算维数提升至 28 维 (见4.1)。

### 3.6 伪代码与实现

结合前面部分的理论结果，我们在 [3] 中给出的算法上进行修改，得到一个新的基于 5816 SGD 的算法用于找出优秀的 G-invariant 的生成矩阵：

---

**Algorithm 1** G-invariant lattice construction

---

**Input:**  $n$ : Dimension;  $G$ : Invariant group;

**Output:** G-invariant generator matrix  $\mathbf{B}$

```
1:  $\mathbf{L} \leftarrow GRAN(n, n)$ 
2:  $\mathbf{L} \leftarrow |\mathbf{L}|^{-1/n} \mathbf{L}$ 
3: for  $t = 0$  to  $n$  do
4:   Get  $\mu$  from scheduler;
5:    $\mathbf{A} \leftarrow \frac{1}{|G|} \sum_{g \in G} \mathbf{gL}(\mathbf{gL})^T$ 
6:    $\mathbf{B} \leftarrow CHOL(\mathbf{A})$ 
7:    $\mathbf{z} \leftarrow URAN(n)$ 
8:    $\mathbf{y} \leftarrow CLP(\mathbf{B}, \mathbf{zB})$ 
9:    $\mathbf{e} \leftarrow \mathbf{yB}$ 
10:   $\nabla \mathbf{B} \leftarrow B\_DIFF(\mathbf{B}, \mathbf{y}, \mathbf{e})$ 
11:   $\nabla \mathbf{A} \leftarrow A\_DIFF(\mathbf{B}, \nabla \mathbf{B})$ 
12:   $\nabla \mathbf{L} \leftarrow L\_DIFF(\mathbf{G}, \mathbf{L}, \nabla \mathbf{A})$ 
13:   $\mathbf{L} \leftarrow \mathbf{L} - \mu \nabla \mathbf{L}$ 
14:  if  $(t \bmod T_r) = T_r - 1$  then
15:     $\mathbf{L} \leftarrow |\mathbf{L}|^{-1/n} \mathbf{L}$ 
16:  end if
17: end for
18:  $\mathbf{A} \leftarrow \frac{1}{|G|} \sum_{g \in G} \mathbf{gL}(\mathbf{gL})^T$ 
19:  $\mathbf{B} \leftarrow CHOL(\mathbf{A})$ 
20:  $\mathbf{B} \leftarrow |\mathbf{B}|^{-1/n} \mathbf{B}$ 
```

---

$GRAN, URAN, CLP$  的定义与实现与 [3] 中相同。

$CHOL$  为 Cholesky 分解，给定正定对称矩阵  $A$ ，返回唯一的  $B$  满足  $A = BB^T$ 。我们使用了 numpy 库中的实现。

$B\_DIFF$  函数中我们使用 [3] 中的计算结果来直接求得  $B$  关于 NSM 的梯度  $\nabla B$ 。

$A\_DIFF$  函数将  $\nabla B$  对 Cholesky 分解反向传播来得到  $\nabla A$ ，我们使用了 Murray 的论文 [5] 中的算法及代码。

$L\_DIFF$  函数直接通过如下公式计算最终  $L$  关于 NSM 的梯度  $\nabla L$ :

$$\nabla L = \frac{1}{|G|} \sum_{g \in G} 2g^T \nabla A_g L$$

我们也使用 `pytorch` 编写了自动求梯度的版本，与上述版本效果一致但运行效率略低。

值得注意的是，简单地修改这一算法可以只对  $n$  阶生成矩阵的前  $m$  个行向量进行  $G$ -invariant 的限制。具体的，令  $G$  是一个  $m$  阶矩阵组成的 invariant group，将算法第 5 行改为

$$A \leftarrow \frac{1}{|G|} \sum_{g \in G} g L_1 (g L_1)^T$$

其中  $L_1$  为  $L$  的前  $m$  行构成的  $m \times n$  矩阵。将第 6 行改为

$$B \leftarrow CHOL(A) + L_2$$

这里  $+$  表示按行拼接， $L_2$  为  $L$  的后  $n - m$  行，即令  $B$  为  $CHOL(A)$  得到的  $m \times m$  矩阵补零补为  $m \times n$  矩阵后与  $L_2$  按行拼接。

同理对算法第 10 ~12 行的反向传播部分进行对应修改，这样就在限制前  $m$  行向量的同时不对后  $n - m$  行向量做出限制。

## 4 实验与结果

### 4.1 $G = \{I_n\}$ 的无约束情形

注意到当  $G = \{I_n\}$  时，我们的算法可以退化为 [3] 中的算法，进而我们对其进行了实验，验证我们的算法的结果与之相符合。同时，我们也对于更小的  $n$  和更大的  $n$  进行了实验，乙方验证我们的算法确实可以在  $n$  较小的时候收敛到当前的最优解，同时在更大的  $n$  上创造了 SOTA 的 NSM。具体的计算结果见 4.1。在表格中，所有数据若没有特别标注，均引用自 [2]，并且 [3] 中的数据也已考虑在内。由于我们的 NSM 的计算的方差在  $3 * 10^{-6}$  左右，而且优化的次数并不算多，故我们认为误差在  $1 * 10^{-5}$  之内都可以看作是收敛于已知的最佳格点，此时在“Better?”一栏中用  $\approx$  标记，而如果我们优化的格点优于已知的最好的结果，则用  $<$  标记。

囿于计算资源，我们在  $n \in \{2, 3, \dots, 20\}$  时采用了  $1.6 * 10^6$  次迭代，取得了更为精细的 NSM 以及 theta-image，而在  $n \in \{21, 22, \dots, 26\}$  时采用了  $4 * 10^5$  次迭代，在  $n \geq 27$  时，仅进

行了  $10^5$  次迭代。在  $n$  较小的第一种情况中，我们得到了比较精确的  $\theta$ -image，且可以通过 [3] 中的方法将  $\theta$ -image “锐化”，使得原本模长“几乎相等”的格点变成模长完全相等的格点。而在  $n > 16$  时，NSM 的收敛速度显著快于格点  $\theta$ -image 的收敛速度，进而此时生成的  $\theta$ -image 并不理想，其中并没有包含充分有效的信息，故我们略去不提。

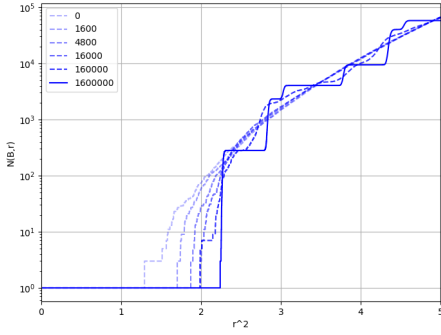


图 1:  $n=15$

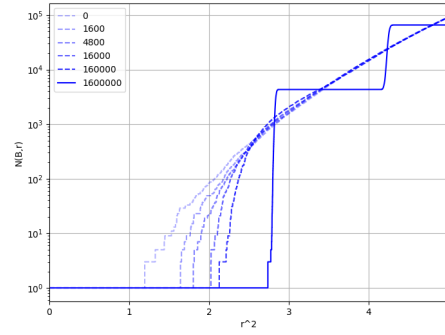


图 2:  $n=16$

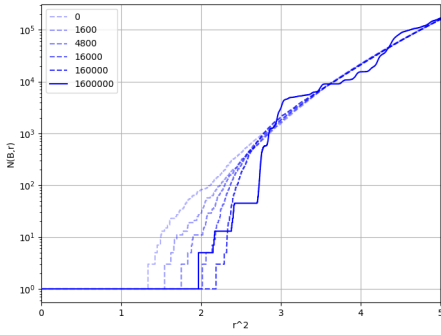


图 3:  $n=18$

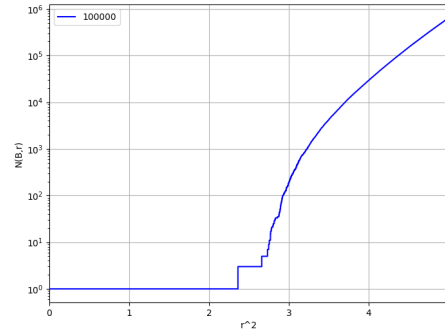


图 4:  $n=28$

表 2: Result of  $G = \{I_n\}$ 

n	Best Previously Reported		Generic Bounds		Ours	
	NSM	Lattice	Lower[8]	Upper[9]	NSM	Better?
2	0.08019	$A_2$	0.08019	0.08027	0.08019	$\approx$
3	0.07854	$A_3^*$	0.07787	0.07972	0.07855	$\approx$
4	0.07660	$D_4$	0.07609	0.07882	0.07660	$\approx$
5	0.07562	$D_5^*$	0.07465	0.07873	0.07563	$\approx$
6	0.07424	$E_6^*$	0.07347	0.07778	0.07435	$\approx$
7	0.07312	$E_7^*$	0.07248	0.07686	0.07312	$\approx$
8	0.07168	$E_8$	0.07164	0.07565	0.07169	$\approx$
9	0.07162	$AE_9$	0.07090	0.07555	0.07162	$\approx$
10	0.07081	$D_{10}^+$	0.07026	0.07486	0.07081	$\approx$
11	0.07043	$A_{11}^3$	0.06969	0.07402	0.07043	$\approx$
12	0.07003	Glued $D_6 \times D_6$	0.06918	0.07310	0.07004	$\approx$
13	0.06970	[3]	0.06872	0.07240	0.06970	$\approx$
14	0.06926	[3]	0.06830	0.07167	0.06926	$\approx$
15	0.06887	$\Lambda_{15}^*$ [3]	0.06793	0.07101	0.06888	$\approx$
16	0.06830	$\Lambda_{16}$	0.06759	0.07040	0.06830	$\approx$
17	0.06910	$\Lambda_{16} \otimes \mathbb{Z}$	0.06727	0.06989	0.06819	$<$
18	0.06953	$\Lambda_{16} \otimes A_2$	0.06698	0.06940	0.06793	$<$
19	0.06982	$\Lambda_{16} \otimes A_3^*$	0.06671	0.06895	0.06782	$<$
20	0.06988	$\Lambda_{16} \otimes D_4$	0.06645	0.06854	0.06754	$<$
21	0.06998	$\Lambda_{16} \otimes D_5^*$	0.06622	0.06817	0.06731	$<$
22	0.06987	$\Lambda_{16} \otimes E_6^*$	0.06600	0.06782	0.06708	$<$
23	0.06973	$\Lambda_{16} \otimes E_7^*$	0.06580	0.06750	0.06685	$<$
24	0.06577	$\Lambda_{24}$	0.06561	0.06721	0.06664	
25	0.07566	$A_{25}^*$	0.06543	0.06693	0.06643	$<$
26	0.07568	$A_{26}^*$	0.06526	0.06668	0.06624	$<$
27	0.07571	$A_{27}^*$	0.06509	0.06644	0.06610	$<$
28	0.07574	$A_{28}^*$	0.06494	0.06622	0.06593	$<$

## 4.2 求由两组互相正交的基形成的 lattice

利用 3.5 中的算法，可以求一些满足特殊性质的 lattice，比如求由两组互相正交的基形成的 lattice。具体的，给定  $n, m$ ，我们希望求出一个  $n$  维 lattice 的生成矩阵  $B$ ，使得前  $m$  行的向量与后  $n - m$  行的向量正交。

考虑 G-invariant 的定义，

$$\forall g \in G, \forall x \in \mathbb{Z}^{1 \times n}, xAx^T = (xg)A(xg)^T$$

其中  $A$  为生成矩阵  $B$  的 Gram matrix,  $A = BB^T$ 。

将  $xAx^T$  视为二次型，

$$f(x) = \sum_{i,j} A_{i,j} x_i x_j$$

则要求相当于  $f(x) = f(xg)$  对所有  $x, g$  成立。

当  $G = \{I_n, \text{diag}(-I_m, I_{n-m})\}$  时，一个 lattice 是 G-invariant 的当且仅当其对应的 Gram matrix  $A$  满足

$$\sum_{i,j} A_{i,j} x_i x_j = \sum_{i,j} A_{i,j} (xg)_i (xg)_j$$

也即当  $i \leq m, j > m$  或  $i > m, j \leq m$  时要求  $A_{i,j} = 0$ ，而  $A_{i,j}$  是生成矩阵  $B$  的第  $i$  行与第  $j$  行的内积，因此该条件相当于  $B$  的前  $m$  行与后  $n - m$  行正交。

故将  $G$  设置为该大小为 2 的群，可以使用上述算法来计算满足要求的  $B$  并优化其 NSM。

我们在  $n = 2 \sim 22$ ,  $m = \lceil \frac{n}{2} \rceil \sim n - 1$  上进行实验，每组迭代  $10^5$  轮，下表是部分结果，其中 NSM 一列为算法得到的结果，NSM\* 一列为 [2] 的 Table I 中给出的 product lattice 的参考结果：

表 3: Result of 4.2

n	m	NSM	NSM*	n	m	NSM	NSM*
2	1	0.083315	0.083333	12	11	0.071426	0.071420
3	2	0.081205	0.081222	13	12	0.070975	0.071034
4	2	0.080181	-	14	12	0.071392	0.071455
4	3	0.079729	0.079714	15	12	0.071679	0.071709
6	5	0.076857	0.076858	15	14	0.070600	-
7	6	0.075476	0.075478	16	12	0.071616	0.071668
8	4	0.076599	-	16	15	0.069827	-
8	6	0.075760	-	18	16	0.069533	0.06953
8	7	0.074326	0.074321	19	16	0.069836	0.06982
10	9	0.072716	0.072715	20	16	0.069881	0.06988
12	8	0.073474	-	22	16	0.069875	0.06987

由于计算 NSM 所用 grader 的总轮数较少 ( $10^5$  轮), 结果存在一些误差。总的来说, 使用该算法能够成功找到 [2] 中给出的 Best product 结果, 而  $n = 13 \sim 16, m = 12$  时得到的结果略优于该论文, 与 [4] 中的发现相符。

### 4.3 非平凡的 Invariant Group 的探索

因为能够计算 Invariant Group 的 lattice 较为有限, 我们主要实验了 lattice  $E_6, K_{12}$  的 Invariant Group 约束的效果, 其中对于  $K_{12}$  我们取出了其中一个 6 维子空间的部分 Invariant Group 进行约束。相比于 [2] 中的正交 gluing 策略取得了较好的效果。

根据 [1],  $E_8$  的 Isometric Group 中有元素  $h = \begin{bmatrix} H_4 & 0 \\ 0 & H_4 \end{bmatrix}$  其中

$$H_4 = \frac{1}{2} \begin{bmatrix} 1 & 1 & 1 & 1 \\ 1 & -1 & 1 & -1 \\ 1 & 1 & -1 & -1 \\ 1 & -1 & -1 & 1 \end{bmatrix}$$

根据这个以及  $E_8$  的生成矩阵  $B$ ,  $g = BhB^{-1}$  在  $E_8$  的 Invariant Group 中。我们使用  $g$  在  $GL_8(\mathbb{Z})$  中生成的群作为约束, 使用我们的算法在  $n = 9, 10$  的时候约束其中 8 个基向量生成的 lattice 满足  $g$  的约束, 剩下两个没有约束要求, 得出的结果如下。

表 4: Result of  $E_8$  gluing

n	Best Gluing Lattice [2]		Ours	
	NSM	Lattice	NSM	Better?
9	0.072891732	$E_8 \otimes \mathbb{Z}$	0.071634753	yes
10	0.072715487	$AE_9 \otimes \mathbb{Z}$	0.071306335	yes

注意到  $K_{12}$  的 Gram Matrix 为

$$A = \begin{bmatrix} 4 & 0 & 0 & -2 & 0 & 0 & 2 & -1 & -1 & -1 & 2 & -1 \\ 0 & 4 & 0 & 0 & -2 & 0 & 2 & -1 & -1 & -1 & -1 & 2 \\ 0 & 0 & 4 & 0 & 0 & -2 & 2 & 2 & 2 & -1 & -1 & -1 \\ -2 & 0 & 0 & 4 & 0 & 0 & -1 & -1 & 2 & 2 & -1 & -1 \\ 0 & -2 & 0 & 0 & 4 & 0 & -1 & 2 & -1 & 2 & -1 & 2 \\ 0 & 0 & -2 & 0 & 0 & 4 & -1 & -1 & -1 & 2 & 2 & -1 \\ 2 & 2 & 2 & -1 & -1 & -1 & 4 & 0 & 0 & -2 & 0 & 0 \\ -1 & -1 & 2 & -1 & 2 & -1 & 0 & 4 & 0 & 0 & -2 & 0 \\ -1 & -1 & 2 & 2 & -1 & -1 & 0 & 0 & 4 & 0 & 0 & -2 \\ -1 & -1 & -1 & 2 & 2 & 2 & -2 & 0 & 0 & 4 & 0 & 0 \\ 2 & -1 & -1 & -1 & -1 & 2 & 0 & -2 & 0 & 0 & 4 & 0 \\ -1 & 2 & -1 & -1 & -1 & 2 & 0 & 0 & -2 & 0 & 0 & 4 \end{bmatrix}$$

注意到  $A$  的前 6 行前 6 列形成的矩阵对应的 lattice 在  $\begin{bmatrix} 0 & I_3 \\ I_3 & 0 \end{bmatrix}$  下不变, 我们根据此设计了群  $G$  并进行实验。结果如下



表 5: Result of part of  $K_{12}$  gluing

n	Best Gluing Lattice in [2]		Ours	
	NSM	Lattice	NSM	Better?
13	0.071034583	$K_{12} \otimes \mathbb{Z}$	0.069811712	yes
14	0.071455542	$K_{12} \otimes A_2$	0.069409005	yes
15	0.071709124	$K_{12} \otimes A_3^*$	0.069130726	yes

可以看到确实比正交拼接的效果要好不少。

#### 4.4 训练结果可视化

我们定义  $N(B, r) = |\{u \in \mathbb{Z}^n : \|uB\| \leq r\}|$ ，称  $N(B, r)$  关于  $r^2$  的图像为 theta-image。

theta-image 能够可视化 lattice 的结构，同时算法总是会倾向于阶梯状的 theta-image。绘制训练过程中的 theta-image 能够可视化算法的收敛速度。下图展示了  $n = 12$  时原算法、 $G = \{I_{12}\}$  和  $G = \{I, \text{diag}(-I_6, I_6)\}$  时的图像：

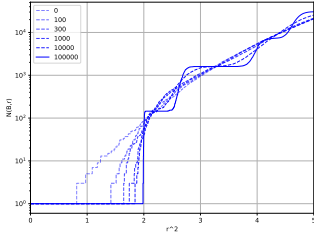


图 5: 原算法

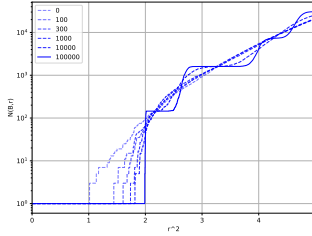


图 6:  $G = \{I_{12}\}$

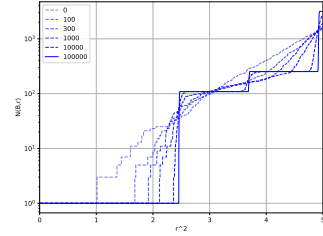


图 7:  $G = \{I, \text{diag}(-I_6, I_6)\}$

可以看到我们的做法取  $G = \{I_{12}\}$  时能够生成与原算法类似的 lattice，同时收敛速度快于原算法。而当  $G = \{I, \text{diag}(-I_6, I_6)\}$  算法也能够收敛到符合条件的局部最优 lattice，但是很难达到全局最优。

## 5 当前算法的不足以及可以进行的进一步探索

我们当前的算法仍然有一些不足，目前该算法仅能控制一组基向量生成的 lattice 的 Invariant Group，最理想的情况是应当可以将基向量分为任意多组并分别控制它们的 Invariant Group，但限制于 cholesky 分解只在对应维数存在唯一，这导致我们控制多组 Invariant Group 存在困难。

可以看到我们的算法仍然有许多潜力等待着开发，例如在特定情形下，当我们对 Voronoi 有一定先验知识因而需要开发具有特定的对称性的 Lattice 时，可以通过设计 Invariant Group 以完成该需求。

## 6 总结

我们基于数学推导设计了一个用于求得 G-invariant lattice 的数值优化算法，并通过实验验证了该算法的有效性。相对于原先只能求无约束 lattice 的算法，我们的算法可以对 lattice 的几何性质进行约束，有更高的灵活性，同时也保证了有效性，能够高效地收敛到之前的论文中得出的最优解，并在一些场景下能得到更优的结果。同时，除了报告中所举的几个实验例子之外，我们认为这一算法也可能会有更广泛的应用场景。

## 参考文献

- [1] J.H. Conway and N.J.A. Sloane, *Sphere Packings, Lattices and Groups*, 3rd ed. New York, NY:Springer, 1999. <https://doi.org/10.1007/978-1-4757-6568-7>
- [2] E. Agrell and B. Allen, “On the best lattice quantizers” , *IEEE Trans. Inf. Theory*, vol. 69, no. 12, pp. 7650–7658, Dec. 2023. <https://doi.org/10.1109/TIT.2023.3291313>
- [3] E. Agrell, D. Pook-Kolb and B. Allen, “Optimization and identification of lattice quantizers” , arXiv:2401.01799, Jun. 2024. <https://doi.org/10.48550/arXiv.2401.01799>
- [4] E. Agrell, D. Pook-Kolb, and B. Allen, “Glued lattices are better quantizers than  $K_{12}$ ,” *IEEE Trans. Inf. Theory*, 2024, to appear. <https://doi.org/10.1109/TIT.2024.3398421>

- [5] I. Murray, "Differentiation of the Cholesky decomposition", arXiv:1602.07527, Feb. 2016.  
<https://doi.org/10.48550/arXiv.1602.07527>
- [6] Ducas, L., Stevens, M., van Woerden, W. (2021). Advanced Lattice Sieving on GPUs, with Tensor Cores. In: Canteaut, A., Standaert, FX. (eds) Advances in Cryptology –EUROCRYPT 2021. EUROCRYPT [https://doi.org/10.1007/978-3-030-77886-6\\_9](https://doi.org/10.1007/978-3-030-77886-6_9)
- [7] W. PLESKEN, B. SOUVIGNIER, Computing Isometries of Lattices, Journal of Symbolic Computation, Volume 24, Issues 3–4, 1997, Pages 327-334, ISSN 0747-7171, <https://doi.org/10.1006/jsco.1996.0130>.
- [8] J. Conway and N. Sloane, "A lower bound on the average error of vector quantizers (Corresp.)," in IEEE Transactions on Information Theory, vol. 31, no. 1, pp. 106-109, January 1985, <https://doi.org/10.1109/TIT.1985.1056993>.
- [9] "Reformulation of the covering and quantizer problems as ground states of interacting particles" in Phys. Rev. E, vol. 82, pp. 22, Nov 2010, <https://link.aps.org/doi/10.1103/PhysRevE.82.056109>